

PAPER DETAILS

TITLE: Azot Sivilastirma Ünitesinin Performans Analizi

AUTHORS: Arif KARABUGA,Resat SELBAS

PAGES: 0-0

ORIGINAL PDF URL: <https://dergipark.org.tr/tr/download/article-file/327655>



Azot Sıvılaştırma Ünitesinin Performans Analizi

Arif Karabuğa^{a*}, Reşat SELBAŞ^a

^aEnerji Sistemleri Mühendisliği Bölümü, Teknoloji Fakültesi, Süleyman Demirel Üniversitesi, Isparta, TÜRKİYE

*Sorumlu yazar e-posta adresi: arif.karabuga@gmail.com

ÖZET

Hava ayırmada en önemli metotlardan biri kriyojenik ayırtırmadır. Kriyojeni düşük sıcaklıklar bilimi olarak bilinir. Hava üç ana bileşenden oluşur mamaflı bunlar; azot, oksijen ve argondur. Havanın en önemli bileşeni azottur. Azot, kimya endüstrisinde, gıdaların soğutulmasında, tip amaçlı, parçacık hızlandırıcı ve çarpıştırıcılar, elektron hızlandırıcılarında ve metal işleme teknolojisi gibi alanlarda kullanılmaktadır. Bu çalışmada hava ayırtıma ünitesine entegre edilmiş azot sıvılaştırma ünitesi incelenmiştir. Yapılan numerik hesaplamalarda ve grafik çizimlerinde EES (Equation Engineering Solver) programı kullanılmıştır. Termodinamik hesaplamalar sonucunda çevrimin ekserji verimi, COP_{gerçek} 0,28 ve COP_{tersinir} 0,77 olarak hesaplanmıştır.

Anahtar Kelimeler: Azot sıvılaştırma, Kriyojeni, Performans analizi

Performance Analysis of Nitrogen Liquefaction Unit

ABSTRACT:

Cryogenic separation is the most important method of air separation. Cryogenics is the science of very low temperature. Air consists of three main components thereof so that nitrogen, oxygen and argon. Nitrogen is most important of air components. The nitrogen is used in chemical industry, food freezing, medical purpose, particle accelerators and colliders, synchrotrons, metal processing technology etc. In the study, nitrogen liquefaction unit is integrated to an air separation unit. In numerical calculations and graphics EES (Equation Engineering Solver) software has been used. In result of thermodynamic calculations, exergy efficiency of cycle, COP_{actual} 0,28 and COP_{reversible} 0,77 has been calculated.

Keywords: Nitrogen liquefaction, Cryogenic, Performance analysis

1. GİRİŞ

Dünyanın çevresi hava ile sarılmaktadır. Havanın bileşenleri incelendiğinde azot, oksijen ve argon elementlerinin hava bileşeni içerisindeki diğer elementlere göre daha fazla yer kapladığı görülmektedir. Hacimsel olarak hava içerisindeki azot ve oksijen oranı yaklaşık olarak % 99,05 argon oranı ise % 0,93 seviyelerindedir. Buradaki her bir elementin kullanım alanları farklılık göstermektedir.

Havanın en önemli bileşenlerinden biri azottur. Azot yaygın olarak kimya endüstrisinde, gıdaların dondurulmasında, tipta, petrol rafinerinde, parçacık hızlandırıcılar, parçacık çarşıtırıcıları, elektron hızlandırıcıları vb. alanlarında yaygın olarak kullanılmaktadır [1,2]. Bununla birlikte oksijen ve argon tıp ve sağlık biliminde, spor faaliyetlerinde ve malzeme biliminde, gıda sektöründe ve boyalı sanayisi gibi birçok disiplinlerde kullanılır. Doğada saf halde bulunamayan veya bulunması durumunda da hacimsel olarak çok düşük seviyelerde olan bu elementleri hava içerisinde ayırtarak elde edilir. Bu sebepten dolayı hava ayırmaya yöntemleri büyük önem arz etmektedir.

Hava kriyojenik ve kriyojenik olmayan iki ana yöntemle ayırtılabilir. Kriyojenik olmayan yöntemde kendi içerisinde basınç salınımlı adsorpsiyon ve membranlı ayırtma olmak üzere ikiye ayrılır [3].

Endüstriyel uygulamalarda genel olarak oksijen ve azot kullanılmaktadır. Bu kriyojenlerin saflık oranı hava ayırtmadaki kullanılacak yöntemi belirlememize imkân sağlar. Azot ve oksijenden elde edilen saflık oranları yüksek ve düşük saflık olarak tanımlanmaktadır. Referans olarak % 98 ve üzeri yüksek saflık, % 85-98 arası düşük saflık olarak belirlenmektedir.

Tablo 1.Hava ayırtma sistemlerinin saflık değerlerine göre karşılaştırılması [4]

Proses	Saflik (%)
Membranlı	N: 95 – 99
Adsorbsiyonlu	O ₂ : 90 – 95 N: 99,9 – üzeri
Kriyojenik	O ₂ : 85 – 99,7 N: 10 ppb*

Tablo 1' de hava ayırmaya yöntemlerinden olan membranlı, adsorbsiyonlu ve kriyojenik proseslerin işlem sonucunda elde edilen azot oksijenin saflık oranları verilmiştir.

Cornelissen ve Hirs, çift kolonlu bir kriyojenik hava ayırmaya ünitesinin ekserji analizini yapmıştır. Kriyojenik hava ayırmaya ünitesindeki ekserji kaybının büyük bir bölümünün kompresörlerde meydana geldiğini mamafüh ekserji kaybının 1965 kW olarak hesaplamıştır [5]. van der Ham ve Kjelstrup, iki farklı hava ayırmaya ünitesinin ekserji analizini yapmıştır. Hava ayırmaya ünitelerinin temel farkı kolon sayılarıdır. İncelenen ünitelerden biri üç

kolonlu digeri iki kolonlu tasarlanmıştır. Analizler sonucunda üç kolonlu tasarımın iki kolonlu tasarıma göre % 12 daha az ekserji kaybı olduğunu hesaplamıştır [6]. Rizk vd. Üç tip kriyojenik proses kolonunun simülasyonunu yapmış ve farklı kolonların ekserji kayiplarını hesaplamıştır. Her bir kolon için hassas analizler gerçekleştirmiş ve bunun sonucunda ideal geometriler ve çalışma parametreleri belirlenmiştir. Distilasyon kolonları arasında ekserji analizlerini kıyaslanmıştır. Çift diyabatik kolonun ekserji verimliliği geleneksel adyabatik çift kolonluya göre % 23 daha verimli olduğu hesaplanmıştır [7].

2. KRİYOJENİK PROSES

Bu çalışmada ki sistem entegre bir sistemdir. Azot sıvılaştırma ünitesi hava ayırtırma sisteme entegre edilmiştir. Çalışmada azot kriyojeni çalışma akışkanı olarak kullanılmıştır. Hava atmosfer basıncında ve çevre sıcaklığında hava ayırtırma ünitesine girmektedir. Hava filtresinden geçen hava akışkanı daha sonra üç kademeli hava kompresöründen geçmektedir. Kompresörden çıkan hava saflaştırıcı yataklarına girer. Bu aşamada hava, içerisinde bulunan partiküllerden ve nemden ayrılmış olarak cold box' a girer. Cold box ana eşanjör bloklarından ve distilasyon kolonundan oluşur. Distilasyon kolonu iki farklı kolonun birleşmesinden

ve argon kolonundan oluşur. Bu iki farklı kolon, yüksek basınç ve düşük basınç koluştur. Saflaştırma yataklarından çıkan kuru hava eşanjöre girer ve sıvılaşma sıcaklığına çok yakın bir sıcaklıkta eşanjörden çıkar. Çikan bu kuru hava cold box'a yüksek basınç kolonundan girer. Yüksek basınç kolonunda 50 tane ayırtırma tepsisi, düşük basınç kolonunda ise 78 tane ayırtırma tepsisi bulunmaktadır.

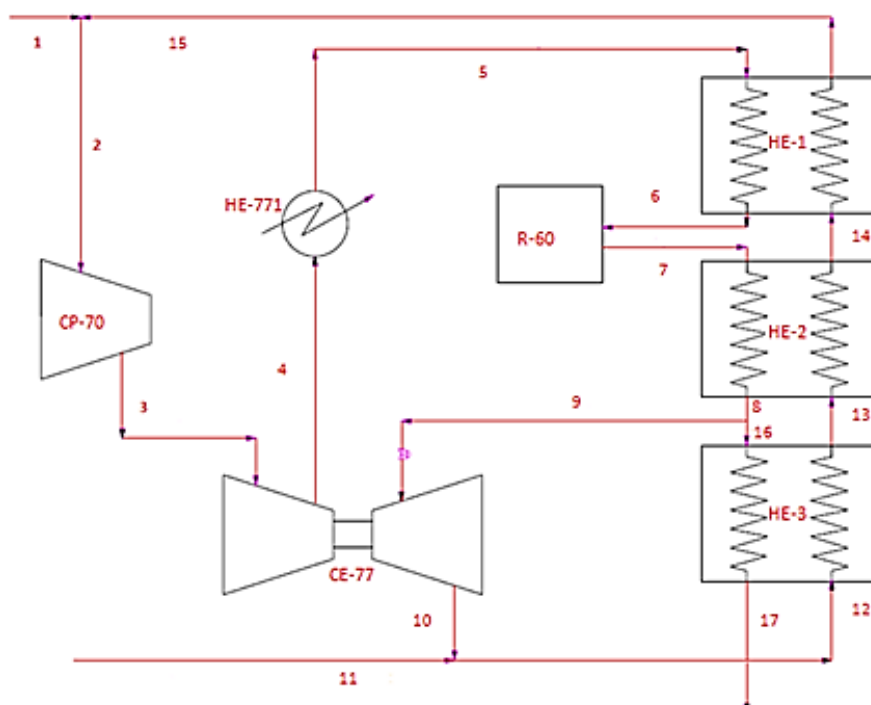
Distilasyon kolonuna giren hava sıcaklık farklılıklarından faydalalarak oksijen, azot ve argon olarak ayrılır. Distilasyon kolonunda azot diğer bileşenlerden ayrılarak, azot sıvılaştırma ünitesine transfer edilir. Azot sıvılaştırma ünitesi birer adet azot geri çevrim kompresörü CP-70, booster kompresör-türbin çifte CE-77, booster kompresör son soğutucusu HE-771, azot chilleri R-60 ve üç adet eşanjörden oluşmaktadır.

Yaklaşık olarak 5 bar basınçla azot sıvılaştırma ünitesine giren azot, geri çevrim kompresöründe yaklaşık olarak 32 bar' a basınçlandırılır. Kademeli olarak basınçlandırılan azot booster kompresör-türbin çiftinden 45 bar' la çıkmaktadır. Kompresör bu basınçlandırma işini türbinden sağlamaktadır. Booster kompresöründen çıkan basınçlandırılmış azot booster kompresör son soğutucusundan geçerek eşanjör

bloklarından ilki olan HE-1' e girer. HE-1' den yaklaşık olarak 251 K sıcaklığından çıkmaktadır. Azot chiller soğutucusuna girerek ısısının bir kısmını burada atar. Buradan çıkan azot HE-2 eşanjörüne girer ve yaklaşık 182 K sıcaklığında eşanjörden çıkar. HE-2 eşanjöründen çıkan azot akışkanının kütlesinin $\frac{3}{4}$ kadarı booster kompresör-türbin çiftindeki turbine gönderilerek kompresör için gerekli işi sağlar.

Türbinden çıkan akışkan yüksek basınç kolonundan gelen orta basınçlı azot ile birleşerek azot sıvılaştırma içersindeki eşanjör bloklarından geçerek cold box' da ki ana eşanjörden gelen orta basınçlı azot ile birleştirilerek azot geri çevrim kompresörüne girer.

HE-2 eşanjöründen çıkan azotun $\frac{1}{4}$ HE-3 eşanjörüğe girer. HE-3 eşanjöründen yaklaşık olarak 112 K sıcaklığında sıvı fazda çıkar.



Sekil 1.Azot sivilastırma ünitesi

Şekil 1' de incelenen azot sivilaştırma ünitesinin tesisat seması verilmistir.

3. MATERİYAL VE METOT

Azot sıvılaştırma ünitesinin enerji ve ekserji analizini yapabilmek için sıvı ve gaz fazında iki tane soğutma etkisinin tanımlanması gereklidir. Çevrimdeki gazın

birim kütlesi başına soğutma etkisi eşitlik 1' de verilmistir (kj/kg) [8];

Burada h_2 değeri kompresörden çıkan entalpiyi, h_1 kompresöre giren entalpiyi belirtmektedir. Çevrimdeki sıvılaşan gaz

birim kütlesi başına soğutma etkisi (kj/kg) [8];

Burada h_{SIVI} çevrimden çıkan sıvı azotun entalpi değerini belirtmektedir. Bununla birlikte çevrimin doğru bir termodinamik analizini yapabilmek için kütle dengesinin, enerji dengesinin ve ekserji dengesinin yazılması gerekmektedir. Çoklu girişi ve çıkışları olan genel bir sürekli akışlı sistemler için kütle dengesi (kg/s) aşağıdaki gibi yazılabilir [9];

Burada m birim alanda birim zamanda geçen kütle debisidir. Alt indiks olan g ve çise çevrime giren ve çıkan toplam kütleyi göstermektedir.

$$\dot{Q} - \dot{W} = \sum_{\zeta} \dot{m} \left(h + \frac{V^2}{2} + gz \right) - \sum_g \dot{m} \left(h + \frac{V^2}{2} + gz \right) \dots \dots \dots \quad (4)$$

Burada \dot{Q} birim zamandaki net ısısı, \dot{W} birim zamandaki net işi V hızı, g yer çekimi ivmesini ve z' de yüksekliği tanımlamaktadır. Sürekli akışlı açık sistemlerde kinetik ve potansiyel enerji göz ardı edilebileceği için $\frac{V^2}{2}$ ve gz değerleri sıfıra eşitlenir.

Kompresörün sıkıştırma işi ele alınarak kompresördeki enerji dengesi (kJ/kg) gaz birim kütlesi başına yazılırsa [9];

Burada R, azot gaz sabiti, T_0 çevre sıcaklığı yani ölü hal durum sıcaklığı mamaflı bu sıcaklık 298.15 K' dir.(P değerleri de azotun kompresöre giriş ve çıkış basıncı olarak tanımlanır. Ekserji analizi yapılırken tüm ünitelerde kinetik, potansiyel ve kimyasal ekserji ihmali edilir. Ekserji denkliği aşağıdaki şekilde yazılır [10,11].

Burada \dot{E}_Q ısiyla gelen birim zamandaki ekserjiyi, \dot{E}_W iş ile gelen birim zamandaki ekserjiyi, ε özgül ekserjiyi (kj/kg) ve I birim zamanda kaybolan ekserjiyi yani tersinmezliği tanımlamaktadır (kj/kg).

Çevrimde dolaşan gazın sıvılaşma oranını denklem 2' nin denklem 1' e fraksiyonu alınmıştır ve bu fraksiyon y olarak tanımlanmıştır [8].

Çevrimdeki gerçek iş sıvılaşan azotun birim kütlesi için yazılırsa (kj/kg) [8];

Çevrimdeki gerçek iş gazın birim kütlesi için yazılırsa [8];

Sıvılaştırma ünitesindeki sıvılaşan birim
kütle başına tersinir COP değerini

bulabilmek için ise denklem 2' nin tersinir işe bölümü alınır [8];

$$COP_{tersinir} = \frac{q_{L\ sivi}}{w_{tersinir}} \dots\dots\dots(12)$$

Denklem 7' de ki tersinir iş denklem 8' de tanımlanmıştır (kj/kg) [8];

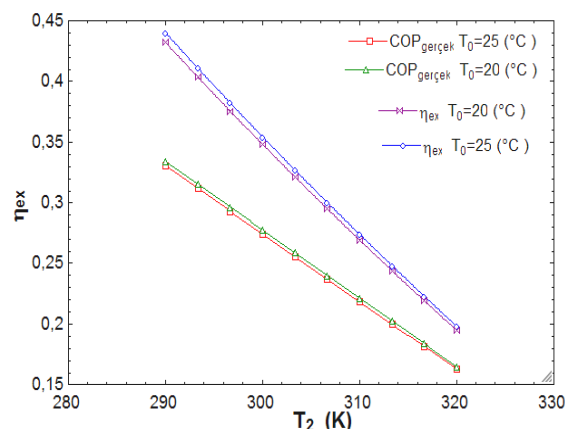
$$w_{tersinir} = h_{17} - h_2 - T_0(s_{17} - s_2) \dots\dots\dots(13)$$

Çevrimdeki ekserji verimliliğini bulabilmek için COP_{gerçek} değerinin COP_{tersinir} değerlerine oranı hesaplanmıştır [8];

$$\eta_{ex} = \frac{COP_{gerçek}}{COP_{tersinir}} \dots\dots\dots(14)$$

4. SONUÇ

Bu çalışmada gerçek bir hava ayırma ve azot sıvılaştırma ünitesi incelenmiştir. Azot sıvılaştırma ünitesinin performans analizi yapıldı ve çevrimin COP_{gerçek} ve COP_{tersinir} değerleri sırasıyla 0,28 ve 0,77 bulundu. Ayrıca çevrimin ekserji verimliliği 0,36 olarak hesaplandı. Şekil 2'de kompresör giriş sıcaklığına bağlı olarak sistemin ekserji verimindeki değişim gösterilmiştir.



Sekil2. T₂ Sıcaklığına bağlı olarak ekserji veriminin değişim grafiği

Şekil 2'de T₀ değerinin yani çevre sıcaklığının 20 °C ve 25 °C olduğu durumlarda sisteme giren T₂ sıcaklığının artması durumunda ekserji veriminin azaldığı gözlenmektedir. Ancak çevre sıcaklığının 20 °C olduğu durumda COP gerçek değerinin 25 °C göre biraz daha fazla olduğu gözlenmektedir. Fakat çevre sıcaklığının 25 °C olduğu durumda da ekserji veriminin 20 °C dereceye göre biraz daha arttığı ölçülmektedir.

Bu çalışma neticesinde kompresör verimliliğinin düşük olduğu ve kompresörden çıkan entalpi değerinin artması durumunda çevrimin ekserji veriminin de artacağı tespit edilmiştir.

Teşekkür:

Bu çalışmamızı destekleyen Süleyman Demirel Üniversitesi BAP Koordinasyon Birimine teşekkür ederiz. (Proje no: 4350-YL1-15).

Semboller

- q_L : Soğutma etkisi
- h : Entalpi
- s : Entropi
- m : Birim kütle
- Q : Birim zamandaki net ısı
- W : Birim zamandaki net iş
- COP : Coefficient of Performance
- T₀ : Çevre sıcaklığı
- P : Basınç

I : Tersinmezlik
y : Gazın sıvılaşma franksiyonu
 ε : Özgül ekserji
 η_{ex} : Ekserji verimliliği

KAYNAKLAR

- [1] Manenti, F., Rossi, F., Croce, G., Grottoli, M. G., 2013. Intensifying Air Separation Units, Chemical Engineering Transactions, 35, 1249-1254.
- [2] J.F Thomas, R. J., Ghosh, P., Chowdhury, K., 2011. Exergy Analysis of Helium Liquefaction Systems Based on Modified Claude Cycle with Two Expanders, Cryogenics, 51, 287-294.
- [3] Zhu, Y., Legg, S., Laird, C. D., 2010. Optimal Design of Cryogenic Air Separation Columns Under Uncertainty, Computers and Chemical Engineering, 34, 1377-1384.
- [4] Campestrini M., 2014. Thermodynamic study of solid-liquid-vapor equilibrium: application to cryogenics and air separation unit, doktora tezi, 147.
- [5] Cornelissen, R.L., Hirs G.G., 1998. Exergy Analysis of Cryogenic Air Separation. Energy Conversion and Management, 39, 1821-1826.
- [6] Van der Ham, L. V., Kjelstrup, S., 2010. Exergy Analysis of Two Cryogenic Air Separation Processes, Energy, 35, 4731-4739.
- [7] Rizk, J., Nemer, M., Clodic, D., 2012. A real column design exergy optimization of a crtogeniz air separation unit, Energy, 37, 417-429.
- [8] Dinçer, İ., Rose, M.R., 2007. Exergy: Energy, Environment and Sustainable Development, 454. Elsevier, Canada
- [9] Çengel, Y. A., Boles, M. A., 2011. Termodinamik; Mühendislik Yaklaşımıyla, 946, Güven Kitapevi, Türkiye.
- [10] Bejan, A., 2002. Fundamentals of Exergy Analysis Entropy Generation Minimization and The Generation Architecture. International Journal of Energy Research. 26, 545-565.
- [11] Kabul A., 2008. Alternatif Soğutucu Akışkan Kullanılan Bir Soğutma Sisteminde Termodinamik ve Isı Transferinin Teorik ve Deneysel Olarak İncelenmesi, Süleyman Demirel Üniversitesi, Fen Bilimleri Enstitüsü, Doktora Tezi, 118s, Isparta.
- [12] Thomas, R. J., Ghosh, P., Chowdhury, K., 2011. Exergy Analysis of Helium Liquefaction Systems Based on Modified Claude Cycle with Two-Expanders. Cryogenics, 51, 287-294.